



БИООРГАНИЧЕСКАЯ ХИМИЯ

mom 4 * № 8 * 1978

VJK 615.33 + 541.63

ЛИГАНДЫ, ОБЛАДАЮЩИЕ СРЕДСТВОМ К ОПРЕДЕЛЕННЫМ ПАРАМ ОСНОВАНИЙ ДНК

II. ИЗУЧЕНИЕ СТЕРЕОХИМИИ ХРОМОФОРА ДИСТАМИЦИНА А МЕТОДОМ СПЕКТРОСКОПИИ $^{1}\text{H-NMR}$ *

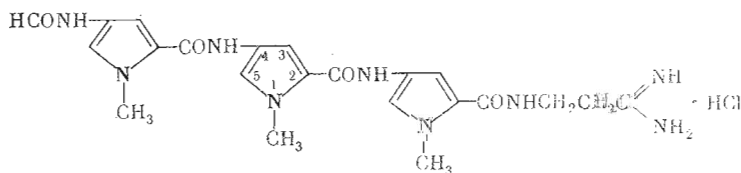
*Турчин К. Ф., Гроховский С. Л., Жузе А. Л.,
Гомтих Е. Н.*

Всесоюзный научно-исследовательский химико-фармацевтический институт им. С. Орджоникидзе, Москва;

Институт молекулярной биологии Академии наук СССР, Москва

С целью изучения стереохимии хромофорной части противовирусного антибиотика дистамицина А синтезирован ряд модельных соединений, содержащих одно, два или три пиррольных ядра, соединенных между собой амидными или N-метиламидными связями в положениях 2 и 4**. Методом спектроскопии ^1H -ЯМР показано, что для фрагмента молекулы дистамицина А, содержащего два пиррольных ядра, предпочтительна конформация с транс-ориентацией связей $\text{C}2=\text{C}3$ и $\text{C}=\text{O}$ относительно связи $\text{C}2-\text{CO}$ (*s*-транс), с транс-ориентацией связей $\text{C}2-\text{CO}$ и $\text{NH}-\text{C}4$ относительно амидной связи $\text{CO}-\text{NH}$ и с цис-ориентацией связей $\text{NH}-\text{CO}$ и $\text{C}4=\text{C}5$ относительно связи $\text{NH}-\text{C}4$. Высказано предположение о преобладании аналогичных конформаций для олигопиррольного ядра боксазидного остова молекулы антибиотика.

Механизм ингибирования матричной активности ДНК противомикробным антибиотиком дистамицином А обусловлен образованием прочных комплексов с А-Т-богатыми участками двунитчатой ДНК [2]. Такая специфичность связывания антибиотика, по-видимому, обусловлена особынностью стереохимии образующегося комплекса. Необходимым этапом



Листамицин А

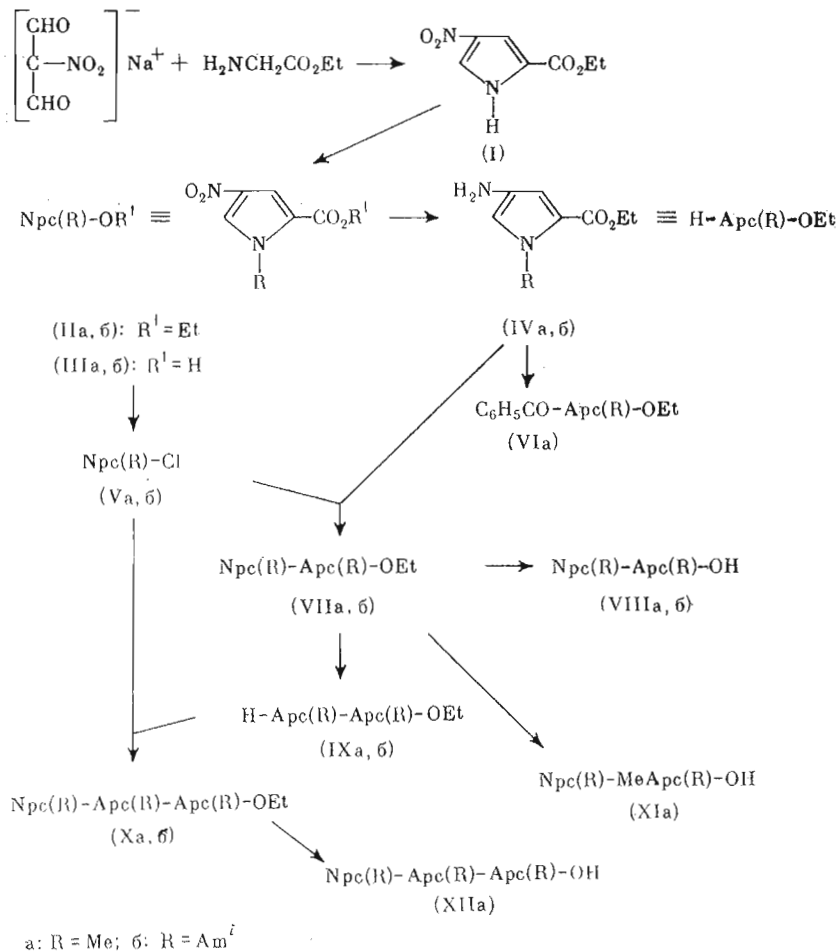
* Сообщение 1 см. [1].

** В статье для обозначения 4-замещенных 1-алкилпиррол-2-карбоновых кислот и их производных, так же как для неприродных аминокислот, использованы трехбуквенные сокращения, а именно: Npc(R) — остаток 1-алкил-4-нитропиррол-2-карбоновой кислоты; Arc(R) — остаток 1-алкил-4-аминопиррол-2-карбоновой кислоты; MeArc(R) — остаток 1-алкил-4-метиламинопиррол-2-карбоновой кислоты. Соединение, включающему в шифр букву «а», соответствует $\text{R} = \text{Me}$ (метил); букву «б» — $\text{R} = \text{Ama}$ (изоамил). Принято также следующее сокращение: ПСР — парамагнитный сдвигавший реагент.

в выяснении стереохимии этого комплекса является установление пространственной структуры самого антибиотика в растворе, и прежде всего его хромофорной части, состоящей из трех последовательно расположенных остатков 1-метил-4-аминопиррол-2-карбоновой кислоты.

Для установления взаимной ориентации пиррольных ядер в молекуле дистамицина А нами были изучены спектры ^1H -ЯМР модельных соединений, содержащих одно или несколько пиррольных ядер, соединенных друг с другом амидными или метиламидными связями (табл. 1—3).

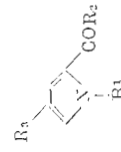
Синтез соединений (I) — (XII) осуществлен по приведенной схеме.



Этиловый эфир 4-нитропиррол-2-карбоновой кислоты (I) получен нами конденсацией натренигроалонового диальдегида с этиловым эфиром глицина по модифицированному методу Хейла и Хойта [3]. После алкилирования натриевого производного, полученного из нитроэфира (I), иодистым алкилом соответствующие N-алкильные производные (II) гидролизовали и выделенные кислоты (III) переводили в хлорангидриды (V) кипячением с SOCl_2 . Этиловые эфиры 1-алкил-4-аминопиррол-2-карбоновых кислот (IV), полученные при каталитическом гидрировании соединений (II), ацилировали либо хлористым бензоилом с образованием бензоильного производного (VIa), либо хлорангидридами (V) с образованием нитроэфиров с двумя N-алкилпиррольными ядрами в молекуле (VII). Щелочной гидролиз последних соединений приводит к нитрокислотам (VIII).

Таблица 1

Химические сдвиги протонов некоторых 1,2,4-триазамещенных пирролов.*

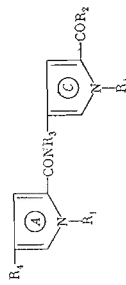


Соединение	R ₁	R ₂	R ₃	δ, м.н. **			R ₃
				3-H	5-H	R ₁	
(I) (R ₁ =H)	OEt	NO ₂	7,29	8,41		13,3	1,34 (CH ₃), 4,33 (CH ₂)
(IIa)	OEt	NO ₂	7,32	8,21		4,03	1,34 (CH ₃), 4,36 (CH ₂)
(IIb)	OEt	NO ₂	7,36	8,33	0,96 (CH ₃), 4,70 (CH ₂ CH ₂)		1,36 (CH ₃), 4,34 (CH ₂)
(IIIa)	OH	NO ₂	7,30	8,18	4,49 (NCH ₂)		
(IIIb)	OH	NO ₂	7,35	8,30	4,02 (NCH ₂)		
(VIIa)	OEt	NHCOCH ₃ H ₅	7,08	7,58	0,96 (CH ₃), 4,70 (CH ₂ CH ₂)	3,94	1,32 (CH ₃), 4,33 (CH ₂)
(VIIia)	NH ₂	NO ₂	7,59	8,10		4,04	7,55 (Ph:3,4,5-H), 8,05 (Ph:2,6-H)
(XIVa)	NHCH ₃	NO ₂	7,43	8,09		4,04	8,37 (NH), 2,83 (CH ₃)
(XVa)	N(CH ₃) ₂	NO ₂	6,99	8,09		3,85	3,12
(XVIa)	NHC ₆ H ₅	NO ₂	7,75	8,18		4,08	10,46 (NH), 7,81 (Ph:2,6-H), 7,36 (Ph:3,5-H), 7,40 (Ph:4-H)
(XVIIa)	NHC ₆ H ₅ CH ₃ (n)	NO ₂	7,74	8,17		4,08	10,12 (NH), 7,71 (Ar:2,6-H), 7,17 (Ar:3,5-H), 2,30 (Ar-CH ₃)
(XVIIIa)	N(CH ₃)C ₆ H ₅ CH ₃ (n)	NO ₂	6,09	8,00		3,97	3,38 (NCH ₃), 7,23 (Ar:2,3,5,6-H), 2,31 (Ar:4-CH ₃)
(XIXa)	NHCH ₂ CH ₂ CN	NO ₂	7,55	8,12		4,05	8,9 (NH), 2,85 (CCH ₂ C), 3,62 (CH ₂ N)
(XXa)	NH(CH ₂) ₂ C(=NH)NH ₂ ·HCl	NO ₂	7,70	8,10		4,03	9,35 (CONH), 2,90 (CCH ₂ C), 3,70 (CH ₂ N)

* Для соединений с буквой «а» в цифре R₁=CH₃, для «б» — R₁=CH₂CH₂CH(C₆H₅)₂.** Растворитель — диметилформамид-d₇.

Таблица 2

Химические сдвиги протонов соединений, содержащих два пиррольных ядра



Соединение	R ₂	R ₃	R ₄	δ, м.п. *				R ₃	R ₄
				3-Н	5-Н	R ₁	δ, м.п. *		
(VIIa)	OEt	H	NO ₂	A 7,63 C 7,03	8,46 7,51	4,09 3,94	1,33(CH ₃), 4,25(CH ₂)	10,34	
(VIIб)	OEt	H	NO ₂	A 7,63 C 7,05	8,25 7,57	0,96(CH ₃), 4,58(NCH ₂) 1,67(CH ₂ CH ₂), 4,40(NCH ₂)	4,33(CH ₃) 4,27(CH ₂)	10,34	
(VIIIб)	OH	H	NO ₂	A 7,63 C 7,03	8,25 7,57	0,96(CH ₃), 4,58(NCH ₂) 1,67(CH ₂ CH ₂), 4,42(NCH ₂), 3,90**	10,33		
(XIa)	OH	CH ₃	NO ₂	A 7,28 C 6,57	8,0 6,90	3,92**	3,92**	3,38	
(XXIa)	NHCH ₂ CH ₂ CN	H	NO ₂	A 7,64 C 7,05	8,43 7,36	4,40 3,95	8,42(NH), 2,70(CCH ₂ C) 3,55(CH ₂ N)	10,31	
(XXIIa)	NH(CH ₂) ₂ C(=NH)NH ₂ ·HCl	H	NO ₂	A 7,66 C 7,05	8,13 7,36	4,06 3,90	8,50(NH), 3,70(CH ₂ N), 3,60(NH), 2,9(CCH ₂ C)	10,38	
(XXIIIб)	NH(CH ₂) ₂ C(=NH)NH ₂ ·HCl	H	NO ₂	A 7,77 C 7,09	8,22 7,48	0,94(CH ₃), 4,58(NCH ₂) 1,65(CH ₂ CH ₂ CH ₂), 4,40(NCH ₂)	8,60(NH), 2,9(CCH ₂ C) 3,7(CH ₂ N)	10,54	
(XXIIIa)	OEt	CH ₃	NO ₂	A 7,36 C 6,60	8,01 6,95	3,90** 3,92**	1,22(CH ₃) 4,25(CH ₂)	3,39	
(XXIIIa) ***	OEt	CH ₃	NO ₂	A 7,35 C 6,36	8,22 7,02	3,93 3,93	1,24(CH ₃)	3,29	
(XXIVa)	NH(CH ₂) ₂ C(=NH)NH ₂ ·HCl	H	HCONH	A 7,07 C 7,05	8,37 7,35	3,84** 3,74**	4,3(CH ₂)	3,58	
					A 7,13 C 7,05	3,75 7,32	8,43(NH) 3,89** 3,93**	10,12** 10,02** (NH) 3,7(CH ₂ N)	
									8,22(CH)

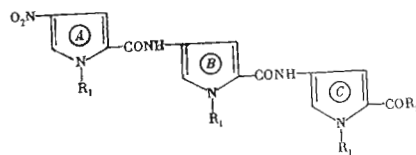
* Растворитель — диметилформамид-д₇.

** Возможно обратное отнесение сигналов группировок в кольцах А и С.

*** При температуре —59°.

Таблица 3

Химические сдвиги протонов соединений, содержащих три пиррольных ядра



Соединение	R ₂	δ, м.д. *				
		3-Н	5-Н	R ₁	R ₂	NH
(Xa)	OEt	A 7,60	8,06	4,08	1,30(CH ₃) 4,25(CH ₂)	10,26(AB) 9,94(BC)
		B 7,14	7,30	3,96		
		C 7,03	7,48	3,90		
(Xб)	OEt	A 7,64	8,25	0,94(CH ₃)	1,32(CH ₃)	10,40(AB)
		B 7,17	7,45	1,70(CHCH ₂ -C)	4,26(CH ₂)	10,04(BC)
		C 7,09	7,59	4,40-4,60(NCH ₂)		
(XIIa)	OH	A 7,63	8,16	4,10		10,35(AB)
		B 7,18	7,37	3,98		10,05(BC)
		C 7,03	7,53	3,93		

* Растворитель — диметилформамид-*d*₇.

Нитрокислота (XIa) с N-метиламидной связью между пиррольными ядрами была получена из соединения (VIIa) последовательной обработкой гидридом натрия и иодистым метилом в абсолютном диметилформамиде и последующим омылением полученного продукта. Выделенный промежуточный нитроэфир (XXIIIa) (см. табл. 2) был охарактеризован только данными ЯМР-спектроскопии, поскольку при реакции N-метилирования одновременно произошла частичная переэтерификация карбоксильной группы.

Соединения (X) с тремя пиррольными ядрами были получены путем гидрирования соединений (VII) с последующим ацилированием аминозифиров (IX) хлорангидридами (V). Нитрокислота (XIIa) была получена из нитроэфира (Xa) при щелочном гидролизе в водно-диоксановом растворе.

Соединения (XIIIa — XVIIa), приведенные в табл. 1, были синтезированы конденсацией хлорангидрида (Va) с соответствующими аминами. N-Метил,N-*n*-толиламид (XVIIa) был получен из N-*n*-толиламида (XVIIa) последовательной обработкой гидридом натрия и иодистым метилом в абсолютном диметилформамиде.

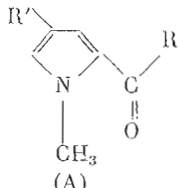
Синтез соединений (Ia), (IIa), (IXa), (XXa) (см. табл. 1) и (XXIVa) (см. табл. 2) описан в работе [1], синтез соединений (XXIa), (XXIIa) (см. табл. 2) — в работе [4]. Амидин (XXIIb) получен из соответствующего нитрила по методу, описанному в работе [4].

В спектрах ¹Н-ЯМР 1,2,4-тризамещенных пирролов (табл. 1) сигналы протонов пиррольного ядра при C3 и C5 представляют собой два дублета в области 6,0—8,3 м.д. с константой спин-спинового взаимодействия $J_{3,5} \approx 2$ Гц; при этом в более слабом поле наблюдается сигнал протона при C5, дополнительно уширенный вследствие дальнего взаимодействия с протонами заместителя при атоме азота ($^4J \leqslant 0,5$ Гц). В наиболее слабом поле (8,1—8,3 м.д.) наблюдается сигнал протона 5-Н в замещенных 4-нитропирролах. В соединениях с амидной группой в положении 4 сигнал протона 5-Н смешен в более сильное поле (в область 7,5—7,6 м.д.); сильнопольный сдвиг в этих соединениях претерпевают также и сигналы других протонов. Указанные различия в величинах химических сдвигов протонов 3-Н, 5-Н и N1—CH₃, обусловленные заместителем в положении

4 пиррольного ядра, были использованы для отнесения сигналов к протонам разных пиррольных ядер в соединениях с двумя [(VII), (VIII), (XI), (XXI) — (XXIV)] и тремя [(X), (XII)] пиррольными ядрами.

Анализ данных табл. 1, относящихся к монопиррольным производным с различными заместителями в положении 2 пиррольного ядра, обнаруживает наиболее сильное влияние этого заместителя на величину химического сдвига протона в положении 3. Так, для соединений (XIVa) и (XVIa) с заместителями при C2 соответственно CONHCH₃ и CONHC₆H₅ различия в химических сдвигах составляют 0,32 м.д. для протона 3-Н и 0,04 м.д. для протонов группы N1—CH₃. Заметные различия величин химических сдвигов протонов 3-Н наблюдаются для соединений, содержащих близкие по электронным эффектам заместители при C2, например CONHCl₃ в соединении (XIVa) (δ 7,43) и CONHCH₂CH₂CN в соединении (XIXa) (δ 7,55); величины химических сдвигов протонов группы N1—CH₃ в этих соединениях практически совпадают. Наконец, замена амидной группы в положении 2 на сложноэфирную приводит к заметному изменению величины химического сдвига протона 3-Н и мало влияет на химический сдвиг протонов группы N1—CH₃. Лишь в третичных амивах (XVa) и (XVIIa) химические сдвиги протонов группы N1—CH₃ иные, чем в остальных соединениях, возможно, вследствие иного конформационного равновесия *.

Сильная зависимость величины химического сдвига протона 3-Н при одновременной слабой зависимости протонов группы N1—CH₃ от характера заместителя при C2 показывает, что для изученных монопиррольных кислот, эфиров и вторичных амидов предпочтительна конформация, в которой одинаковый для всех соединений карбонил заместителя в положении 2 сближен с N-метильной группой в положении 1, т. е. *s-trans*-конформация (A).



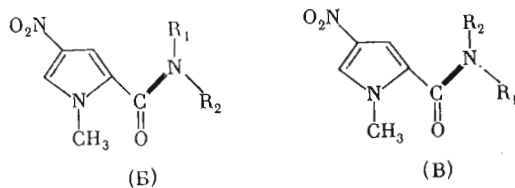
Аналогичная *s-trans*-конформация предпочтительна также и для производных фурана и тиофена с ацетильной группой в положении 2 [5].

В соединениях с двумя пиррольными ядрами (табл. 2) химические сдвиги протонов 5-Н и заместителя N1—CH₃ в 4-нитропиррольном ядре «A» близки к химическим сдвигам соответствующих протонов в соединении (XVIa); более слабопольное положение сигнала 3-Н в последнем соединении, вероятно, обусловлено большим значением анизотропии магнитной восприимчивости бензольного кольца по сравнению с пиррольным. В целом эти данные показывают, что в соединениях с двумя пиррольными ядрами *s-trans*-конформация относительно связи C2—CO также является предпочтительной. Этот вывод справедлив и для соединений, содержащих три пиррольных ядра (табл. 3), о чем свидетельствуют близкие значения химических сдвигов протонов 3-Н и 5-Н пиррольных ядер «A» и «C» в соединениях (VIIa) и (Xa) или (VIIb) и (Xb), а также протонов N1—CH₃ в соединениях (VIIa) и (Xa).

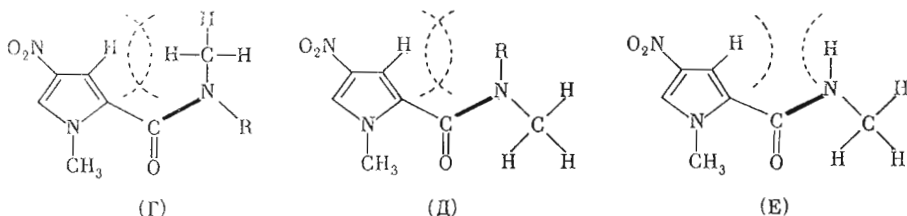
Соединения (VII), (VIII), (X)—(XXIV) с амидным заместителем в положении 2 по крайней мере одного из пиррольных ядер, а также соединение (VI) с этим заместителем в положении 4 могут существовать в

* Для 2-диметиламида производных фурана и тиофена конформационное равновесие почти полностью сдвинуто в сторону *s-cis*-конформера [5].

растворе в виде смеси конформеров (Б, В) относительно частично двоесвязной амидной связи CO—N. Подобная конформационная изомерия проявлялась в спектре соединения (ХХІІа), снятом при низкой температуре (-20° и ниже), в наличии двух наборов сигналов идентичных протонов.



Характерной особенностью спектров обоих конформеров этого соединения является расположение сигнала протонов заместителя N1—CH₃ в 4-нитропиррольном ядре «A» в более сильном поле по сравнению с соответствующим сигналом неметилированного по амидному азоту соединения (VIIa). Такое сильнопольное смещение указанного сигнала наблюдается и для других N-метиламидных производных (XVa) и (XVІІІa). По-видимому, оно не связано с непосредственным электронным влиянием заместителя CH₃ у амидного азота, как это следует из совпадения химических сдвигов протонов группы N1—CH₃ в амиде (ХІІІa) и N-метиламиде (XIVa). Вероятно, смещение сигнала N1—CH₃ в сильное поле в соединениях (XVa), (XVІІІa) и (ХХІІa) — следствие сильного стерического взаимодействия заместителя при амидном азоте с нитропиррольным остатком в любом из возможных конформеров (Г, Д).



Отсутствие подобного сильнопольного смещения сигналов протонов группы N1—CH₃ в спектрах изученных нами вторичных амидов 1-метил-4-нитропиррол-2-карбоповой кислоты показывает, что в этих соединениях конформационное равновесие относительно амидной связи CO—NH сдвинуто в сторону конформера (Е), в котором отсутствуют стерические взаимодействия указанного типа, а имеются лишь более слабые взаимодействия между нитропиррольным ядром и атомом водорода при амидном азоте. Этот вывод находится в соответствии с установленной в литературе точкой зрения о предпочтительности конформации с транс-ориентацией заместителей относительно амидной связи в N-монозамещенных ацетамидах и ацетанилидах [6].

Считая предпочтительной для амидных производных пиррола конформацию с транс-ориентацией заместителей относительно амидной связи, мы попытались определить предпочтительную конформацию относительно связи C4—N заместителя NHCOR в положении 4 пиррольного ядра. С этой целью были изучены спектры ¹H-ЯМР соединений (ІІа), (ІІб), (VІІа) и (VІІб), измеренные с добавками ПСР — три(дипивалоилметанато)европия Eu(DPM)₃ в хлороформе-d₁ (см. табл. 4). Выбор в качестве объекта исследования N-изоамильного производного (VІІб), а не соответствующего N-метильного производного (VІІа) был продиктован недостаточной для записи спектра растворимостью соединения (VІІа) в хлороформе.

Таблица 4

Относительные парамагнитные сдвиги протонов
 $\delta_{\text{Eu}} \text{H}_i / \delta_{\text{Eu}} \text{CH}_2^{\text{Et}}$ 4-нитро- и 4-ациламинопроизводных
 пиррола

Соединение	$\delta_{\text{Eu}} (\delta_{\text{Eu}} \text{CH}_2^{\text{Et}} = 1)$				
	3-Н	5-Н	$\text{NCH}_3(\text{NCH}_2)$	$\text{CH}_3(\text{Et})$	NH
(IIa)	0,50	0,23	0,67	0,33	
(IIб)	0,56	0,29	0,79	0,26	
(VIa)	1,00	1,63	0,50	0,27	1,34
(VIIб)	A 0,24	0,43	0,35	0,28	
	C 0,77	0,70	0,97		0,52

Известно, что для *i*-го протона величина химического сдвига δ_{Eu} , индуцированного ПСР, приближенно равна [7]

$$\delta_{\text{Eu}, i} \approx k \frac{\cos^2 \theta_i - 1/3}{R_i^3}, \quad (1)$$

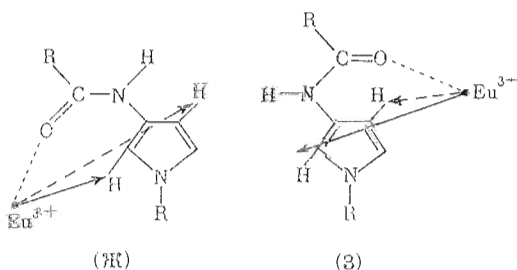
где θ_i — угол между осью комплекса и направлением на данный протон R_i — расстояние между данным ядром и парамагнитным ионом.

При возможности комплексообразования по *n* центрам индуцированный сдвиг данного протона H_i будет равен сумме сдвигов, обусловленных координацией парамагнитного иона по каждому из центров:

$$\delta_{\text{Eu}, i} \approx \sum_n k_n \frac{\cos^2 \theta_{in} - 1/3}{R_{in}^3}. \quad (1')$$

Рассматриваемые нами соединения (IIa) и (IIб) имеют по одному центру координации — группу COOEt , а соединения (VIa) и (VIIб) — по два: группу COOEt и группу C=O амидного заместителя.

Изучение молекулярных моделей соединений (VIa) и (VIIб) показывает, что вклады в химические сдвиги, обусловленные координацией иона Eu^{3+} по карбонильной амидной группе, для протонов 3-Н и 5-Н пиррольного ядра соединения (VIa) и тех же протонов пиррольного ядра «C» соединения (VIIб) должны сильно зависеть от конформации молекул этих соединений



нейший относительно связи C_4-N . Соотношение указанных вкладов $\delta_{\text{Eu}} 5\text{-Н}/\delta_{\text{Eu}} 3\text{-Н}(\text{CO})$ * можно рассчитать по формуле (1) исходя из разных предположений о геометрии молекулы (*и* расположения иона Eu^{3+}). В частности, предполагая молекулы соединений плоскими и заместители при амидной связи — в *транс*-ориентации, мы получили для конформации (Ж) с *s-цис*-ориентацией связей $\text{C}_4=\text{C}_5$ и $\text{NH}-\text{CO}$ величину $\delta_{\text{Eu}} 5\text{-Н}/\delta_{\text{Eu}} 3\text{-Н}(\text{CO}) \approx 3,8$; для конформации (3) с *транс*-ориентацией тех же связей $\delta_{\text{Eu}} 5\text{-Н}/\delta_{\text{Eu}} 3\text{-Н}(\text{CO}) \approx 0,27$ **.

* В скобках указана группа, координация ПСР по которой принимается во внимание.

** Предполагалось, что ион Eu^{3+} находится на расстоянии 3 Å от атома кислорода и ось $\text{Eu}-\text{O}$ образует угол 140° со связью C=O [8].

Оценку величины $\delta_{\text{Eu}} \text{5-H}/\delta_{\text{Eu}} \text{3-H(CO)}$, основанную на экспериментальных данных, можно получить, учитывая, что парамагнитный сдвиг протонов группы CH_2 этильного заместителя в соединениях (VIa) и (VIIb) определяется главным образом влиянием иона Eu^{3+} сдвигающего реагента, координированным по группе COOEt , т. е. тем же фактором, что и в модельных соединениях (IIa) и (IIb).

Индукционные ПСР химические сдвиги протонов в соединениях (IIa), (IIb), (VIa) и (VIIb), отнесенные к индуцированному сдвигу метиленовых протонов группы COOEt в тех же соединениях, представлены в табл. 4.

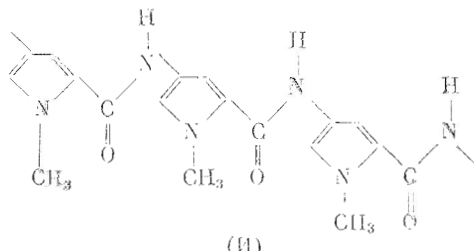
Разность относительных сдвигов * аналогичных протонов в соединениях (IIa) и (VIa) или (IIb) и (VIIb) соответственно характеризует приближенно относительный сдвиг, индуцированный ионом Eu^{3+} , координированным по карбонилу амидной группы. Найденное таким образом по данным табл. 4 отношение $\delta_{\text{Eu}} \text{5-H}/\delta_{\text{Eu}} \text{3-H(CO)}$ оказалось для соединений (VIa) и (VIIb) соответственно 2,8 и 2,0.

Сопоставление этих величин с вычислennыми для двух конформаций величинами 3,8 и 0,27 однозначно указывает на предпочтительность для соединений (VIa) и (VIIb) конформера с *cis*-ориентацией связей $\text{C}_4=\text{C}_5$ и $\text{NH}-\text{CO}$ [конформер (Ж)].

Эта же конформация с *cis*-расположением связей $\text{C}_4=\text{C}_5$ и $\text{NH}-\text{CO}$ относительно связи C_4-NH , вероятно, предпочтительна и для других соединений, содержащих два или три пиррольных ядра. Об этом свидетельствуют близкие значения химических сдвигов протонов N_1-CH_3 , 3-Н и 5-Н пиррольного ядра «*C*» в соединениях (VIIa), (Xa), (XII) (табл. 2, 3) и рассмотренного выше бензоильного производного (VIa). Аналогичный вывод следует из сопоставления химических сдвигов протонов 3-Н и 5-Н в N-изоамильных производных (VIIb), (Xb) и (VIIb).

Таким образом, проведенное рассмотрение величин химических сдвигов и отношения парамагнитных сдвигов протонов пиррольных ядер и заместителя при $\text{N}1$ в производных 4-алкил-4-нитропиррол-2-карбоновой кислоты показало, что для фрагмента молекулы дистамицина А, состоящего из двух пиррольных ядер, предпочтительной относительно связи C_2-CO является *s-trans*-конформация с *trans*-ориентацией связи $\text{C}_2=\text{C}_3$ и $\text{C}=\text{O}$; относительно амидной связи $\text{CO}-\text{NH}$ предпочтительна конформация с *trans*-ориентацией связей C_2-CO и $\text{NH}-\text{C}_4$, а относительно связи $\text{NH}-\text{C}_4$ предпочтительна конформация с *cis*-ориентацией связей $\text{NH}-\text{CO}$ и $\text{C}_4=\text{C}_5$.

С учетом всего вышесказанного можно заключить, что для олигопирролкарбоксамидного остова молекулы дистамицина А предпочтительна конформация (II):



Предпочтительность указанной конформации в среде с высокой диэлектрической проницаемостью — диметилформамиде — дает основание предполагать, что и в водных растворах дистамицина А эта же конформация (II) представлена в достаточно высокой относительной концентрации.

* Т. е. парамагнитных сдвигов, выраженных в единицах парамагнитного сдвига метиленовых протонов группы COOEt в том же соединении.

В заключение следует отметить, что предпочтительная конформация хромофора дистамицина А в растворе, установленная в данной работе, свидетельствует в пользу предложенной ранее модели комплекса дистамицина А — ДНК [9, 10].

Экспериментальная часть

Температуру плавления определяли на приборе фирмы Electrothermal (Англия) (не исправляли). Гидрирование проводили при комнатной температуре и атмосферном давлении над катализатором Адамса [11]. Индивидуальность полученных соединений контролировали с помощью ТСХ на пластинках Silufol UV-254 (ЧССР) в следующих системах: А — *n*-бутанол — уксусная кислота — вода (4 : 1 : 1); Б — 1 М ацетат аммония (рН 7,6) — 96% этанол (3 : 7); В — изопропанол — конц. водный аммиак — вода (7 : 1 : 3); Г — хлороформ — абс. этанол (95 : 5). Для элементного анализа вещества высушивали 8 ч над P_2O_5 при 1 мм рт. ст. и 50—100°.

Спектры 1H -ЯМР сняты на спектрометре Varian XL-100 и Jeol JNM-4H-100 с рабочей частотой 100 МГц и Jeol C-60H с рабочей частотой 60 МГц. В качестве растворителя использован диметилформамид-*d*₇; соединения (IIa), (IIb), (VIa), (VIIb) изучены с добавками ПСР — Eu(DPM)₃ в хлороформе-*d*₁. Внутренний стандарт — тетраметилсилан (δ 0,00).

Этиловый эфир 4-нитропиррол-2-карбоновой кислоты (I). К смеси 50 г (0,32 моль) тонкоизмельченного натрнитромалонового диальдегида [12] и 80 г (0,57 моль) хлоргидрата этилового эфира глицина (Reanal, Венгрия) прибавляли 150 мл 60% водного этанола и 67 мл 5 н. NaOH. Смесь интенсивно перемешивали 10 мин при 50°, добавляли 800 мл воды и оставляли при 0° на ночь. Осадок отфильтровывали, промывали холодной водой. Выход соединения (I) 49,3 г (83%), т. пл. 175,5—176,5°, R_f 0,85 (A), 0,76 (B), 0,28 (Г) (данные работы [3]: т. пл. 174°).

Npc(Me)-Cl (Va). 10 г (59 моль) *Npc(Me)-OH* (IIIa) [1] кипятили 1 ч с 30 мл $SOCl_2$, раствор упаривали досуха, остаток несколько раз упаривали с сухим бензолом и полученный хлорангидрид (Va) без перекристаллизации использовали для последующих реакций. R_f 0,74 (A), 0,78 (B), 0,68 (Г).

H-Apc(Me)-OEt·1/2H₂SO₄ (IVa). 5,0 г (25 ммоль) *Npc(Me)-OEt* (IIa) [13] гидрировали над 2 г катализатора в смеси 100 мл этанола и 0,8 мл H_2SO_4 . Выпавший осадок растворяли в метаноле и катализатор отфильтровывали. Раствор упаривали до объема 30 мл и оставляли при 0° на ночь. Осадок отфильтровывали и промывали холодным этанолом. Выход соединения (IVa) 2,8 г (48%), т. пл. 182—184°, R_f 0,33 (A), 0,69 (B), 0,11 (Г) (данные работы [13]: т. пл. 185°).

C₆H₅CO-Apc(Me)-OEt (VIa). 0,37 г (1,6 ммоль) аминоэфира (IVa) суспендировали в 10 мл абс. тетрагидрофурана и прибавляли 0,7 мл (5 ммоль) триэтиламина и 0,23 г (1,6 ммоль) хлористого бензоила. Смесь перемешивали 24 ч, раствор упаривали, остаток промывали водой и перекристаллизовывали из этанола. Выход соединения (VIa) 0,36 г (82%), т. пл. 136—137°, R_f 0,78 (A), 0,83 (B), 0,49 (Г). Найдено, %: C 66,48; H 6,24; N 10,38. $C_{15}H_{16}O_3N_2$. Вычислено, %: C 66,16; H 5,92; N 10,29.

Npc(Me)-Apc(Me)-OEt (VIIa). К раствору 2,2 г (9,6 ммоль) аминоэфира (IVa) в 30 мл воды прибавляли 4,2 мл (30 ммоль) триэтиламина и раствор 2 г (9,6 ммоль) хлорангидрида (Va) в 40 мл бензола. Смесь интенсивно перемешивали 2 ч, осадок отфильтровывали, промывали бензолом, этанолом, эфиром и перекристаллизовывали из этилацетата. Выход соединения (VIIa) 2,9 г (94%), т. пл. 239—240°, R_f 0,79 (A), 0,81 (B), 0,87 (B), 0,32 (Г). Найдено, %: C 52,55; H 5,04; N 17,07. $C_{14}H_{16}O_5N_4$. Вычислено, %: C 52,49; H 5,04; N 17,49.

Npc(Amⁱ)-OEt (IIб). К раствору 0,22 моль алкоголята натрия в 100 мл абс. этанола прибавляли 30 г (0,16 моль) нитроэфира (I) и после растворения вещества прибавляли 40 мл свежеперегнанного иодистого изоамила. Раствор кипятили 15 ч и оставляли на 48 ч при —10°. Осадок отфильтровывали, промывали холодным гептаном. Выход соединения (IIб) 25 г (59%), т. пл. 46—47°, после перекристаллизации из гексана и из этанола т. пл. 47—48°, R_f 0,98 (A), 0,85 (Б), 0,78 (Г). Найдено, %: С 56,20; Н 6,98; N 10,99. $C_{12}H_{18}N_2O_4$. Вычислено, %: С 56,68; Н 7,14; N 11,02.

Npc(Amⁱ)-OH (IIIб). 15 г (59 ммоль) соединения (IIб) супендировали в смеси 100 мл 60% водного этанола и 50 мл 5 н. NaOH и интенсивно перемешивали при 50° в течение 1 ч (осадок полностью растворялся), охлаждали и нейтрализовали конц. HCl до pH 2. Выпавший осадок отфильтровывали, промывали водой. Выход соединения (IIIб) 12,1 г (91%), т. пл. 153—155°, после перекристаллизации из бензола и из водного этанола т. пл. 154—156°, R_f 0,82 (Б), 0,28 (Г). Найдено, %: С 53,14; Н 5,91; N 12,36. $C_{10}H_{14}O_4N_2$. Вычислено, %: С 53,09; Н 6,24; N 12,38.

Npc(Amⁱ)-ApC(Amⁱ)-OEt (VIIб). 8,0 г (31,5 ммоль) соединения (IIб), растворенного в смеси 50 мл этанола и 3 мл конц. HCl, гидрировали над 1 г катализатора. Катализатор отфильтровывали и раствор упаривали. Остаток растворяли в 100 мл воды, добавляли 14 мл (100 ммоль) триэтиламина и раствор хлорангидрида (Vб) в 50 мл гексана, полученного аналогично описанному выше для хлорангидрида (Va), из 7,2 г (32 ммоль) нитрокислоты (IIIб). Смесь интенсивно перемешивали в течение 5 ч, осадок отфильтровывали, промывали холодным гексалом. Выход соединения (VIIб) 10,2 г (75%), т. пл. 137—142°, после перекристаллизации из смеси гексан — этанол т. пл. 139—142°, R_f 0,68 (Б), 0,73 (Г). Найдено, %: С 61,36; Н 7,39; N 13,01. $C_{22}H_{32}O_5N_4$. Вычислено, %: С 61,09; Н 7,46; N 12,96.

Npc(Amⁱ)-ApC(Amⁱ)-OH (VIIIб). 6,5 г (15 ммоль) нитроэфира (VIIб) супендировали в смеси 50 мл этанола и 20 мл 5 н. NaOH, перемешивали 3 ч при 60° и упаривали. Остаток растворяли в 200 мл воды и нейтрализовали конц. HCl до pH 2, осадок отфильтровывали, промывали водой. Выход соединения (VIIIб) 6,0 г (98%), т. пл. 190—193°, после перекристаллизации из смеси этилацетат — октан т. пл. 192—194°, R_f 0,87 (Б), 0,24 (В). Найдено, %: С 59,29; Н 7,02; N 13,84. $C_{20}H_{28}O_5N_4$. Вычислено, %: С 59,39; Н 6,98; N 13,85.

Npc(Me)-MeApC(Me)-OH (XIa). 3,0 г (126 ммоль) гидрида натрия супендировали в 30 мл абс. диметилформамида при 30°, через 15 мин добавляли раствор 4,0 г (12,6 ммоль) нитроэфира (VIIа) в 30 мл абс. диметилформамида. Раствор перемешивали 15 мин при 30° и добавляли 10 мл иодистого метила. Смесь перемешивали 2 ч при 20°, выливали в 1,5 л холодной воды, содержащей 10 мл уксусной кислоты, и вещество экстрагировали хлороформом (3 × 200 мл). Экстракт промывали водой, высушивали над Na_2SO_4 и упаривали. Остаток растворяли в смеси 60 мл метанола и 60 мл эфира и оставляли при 0° на несколько суток. Выпавший осадок отфильтровывали, промывали эфиром (выход 2,6 г), супендировали 1 ч в смеси 20 мл этанола и 30 мл 2 н. NaOH при 70°. Раствор охлаждали и нейтрализовали конц. HCl до pH 2. Осадок отфильтровывали и промывали водой. Выход соединения (XIa) 2,0 г (52%), после перекристаллизации из этанола т. пл. 210—212°, R_f 0,72 (А), 0,73 (Б), 0,19 (Г). Найдено, %: С 50,53; Н 4,49; N 18,11. $C_{13}H_{14}O_5N_4$. Вычислено, %: С 50,98; Н 4,61; N 18,29.

Npc(Me)-NH₂(XIIIa). Раствор 1,0 г (5,3 ммоль) хлорангидрида (Va) в 10 мл бензола охлаждали до 0° и по каплям прибавляли при 0° к 10 мл насыщенного раствора аммиака в абс. этаноле. Через 30 мин осадок отфильтровывали, промывали эфиром и после высушивания на воздухе перекристаллизовывали из метанола. Выход соединения (XIIIa) 0,7 г (78%), т. пл. 229—230°, R_f 0,69 (А), 0,76 (Б), 0,11 (Г). Найдено, %:

C 42,35; H 4,24; N 24,25. C₆H₇O₃N₃. Вычислено, %: C 42,60; H 4,17; N 24,85.

Npc(Me)-NHCH₃ (*XIVa*). Раствор 1,0 г (5,3 ммоль) хлорангидрида (Va) в 10 мл бензола добавляли по каплям к охлажденному до 0° раствору 1,0 г (32 ммоль) CH₃NH₂ в 20 мл бензола. Через 30 мин осадок отфильтровывали, промывали бензолом, водой и перекристаллизовывали из метанола, а потом из бензола. Выход соединения (*XIVa*) 0,78 г (80%), т. пл. 207—208°, R_f 0,66 (A), 0,77 (B), 0,21 (Г). Найдено, %: C 46,14; H 4,84; N 22,75. C₇H₉O₃N₃. Вычислено, %: C 45,90; H 4,95; N 22,94.

Npc(Me)-N(CH₃)₂ (*XVa*). Раствор 3,4 г (18 ммоль) хлорангидрида (Va) в 50 мл бензола прибавляли к 10% водному раствору HN(C₂H₅)₂ (50 мл) и смесь интенсивно перемешивали 2 ч. Осадок отфильтровывали, промывали водой и перекристаллизовывали из бензола, а потом из этанола. Выход соединения (*XVa*) 1,9 г (54%), т. пл. 160—162°, R_f 0,53 (A), 0,65 (B), 0,32 (Г). Найдено, %: C 48,62; H 5,54; N 21,01. C₈H₁₁N₃O₃. Вычислено, %: C 48,72; H 5,62; N 21,31.

Npc(Me)-NHC₆H₅ (*XVIa*). К раствору 1,0 г (5,3 ммоль) хлорангидрида (Va) в 20 мл бензола по каплям прибавляли 5 мл анилина. Через 3 ч выпавший осадок отфильтровывали, промывали бензолом и перекристаллизовывали из метанола. Выход соединения (*XVIa*) 0,94 г (72%), т. пл. 219—221°; R_f 0,78 (A), 0,85 (B), 0,47 (Г). Найдено, %: C 58,14; H 4,87; N 17,70. C₁₂H₉O₃N₃. Вычислено, %: C 58,77; H 4,52; N 17,14.

Npc(Me)-NHC₆H₄CH₃ (*XVIIa*). К раствору 2,0 г (10,6 ммоль) хлорангидрида (Va) в 15 мл бензола при непрерывном перемешивании прибавляли раствор 2,6 г (24,3 ммоль) *n*-толуидина в 10 мл бензола. Через 30 мин прибавляли 15 мл этанола и охлаждали до 0°. Осадок отфильтровывали, промывали бензолом и перекристаллизовывали из этанола. Выход соединения (*XVIIa*) 2,4 г (87%), т. пл. 194—196°, после перекристаллизации из метанола т. пл. 195—197°, R_f 0,82 (A), 0,81 (B), 0,47 (Г). Найдено, %: C 60,21; H 5,21; N 16,41. C₁₃H₁₃O₃N₃. Вычислено, %: C 60,22; H 5,05; N 16,24.

Npc(Me)-N(CH₃)C₆H₄CH₃ (*XVIIIa*). 0,24 г (10 ммоль) гидрида натрия суспендировали в 10 мл абс. диметилформамида при 30° в течение 15 мин и прибавляли раствор 0,80 г (3,1 ммоль) соединения (*XVIIa*) в 10 мл абс. диметилформамида. Через 15 мин к смеси по каплям прибавляли 3 мл CH₃I. Суспензию перемешивали 2 ч при 20°, выливали в 300 мл воды, содержащей 3 мл уксусной кислоты, и продукт реакции экстрагировали хлороформом (3×50 мл). Экстракт промывали водой, высушивали над Na₂SO₄ и упаривали досуха. Остаток перекристаллизовывали из водного метанола. Выход соединения (*XVIIIa*) 0,80 г (94%), т. пл. 113—115°. После перекристаллизации из 50% водного этанола т. пл. 113,5—114,5°, R_f 0,77 (A), 0,77 (B), 0,50 (Г). Найдено, %: C 61,90; H 5,52; N 15,92. C₁₄H₁₅O₃N₃. Вычислено, %: C 61,53; H 5,53; N 15,38.

Npc(Me)-Apc(Me)-Apc(Me)-OEt (*Xa*). 4,0 г (12,5 ммоль) нитроэфира (*VIIa*) гидрировали над 1 г катализатора в 100 мл этанола. Катализатор отфильтровывали, к раствору прибавляли 2,1 мл (15 ммоль) триэтиламина и раствор 2,9 г (14 ммоль) хлорангидрида (Va) в 50 мл этанола и перемешивали 5 ч. Осадок отфильтровывали, промывали этанолом и эфиrom. Выход соединения (*Xa*) 4,5 г (85%), т. пл. 250—252°, R_f 0,79 (A), 0,85 (B), 0,18 (Г). Найдено, %: C 54,22; H 5,14; N 18,79. C₂₀H₄₂O₆N₆. Вычислено, %: C 54,29; H 5,01; N 19,00.

Npc(Me)-Apc(Me)-Apc(Me)-OH (*XIIa*). 1,0 г (2,27 ммоль) нитроэфира (*Xa*) суспендировали 2 ч в смеси 30 мл диоксана и 30 мл 1 н. NaOH при 70°. Раствор охлаждали и нейтрализовали конц. HCl до pH 2. Осадок отфильтровывали, промывали водой, этанолом и эфиrom. Выход соединения (*XIIa*) 0,89 г (95%), т. пл. 252—254° (с разл.). После перекристаллизации из диоксана т. пл. 254—254,5° (с разл.), R_f 0,79 (B), 0,77 (B), 0,08 (Г). Найдено, %: C 52,04; H 4,57; N 19,78. C₁₈H₃₈O₆N₆. Вычислено, %: C 52,17; H 4,38; N 20,28.

Npc(Amⁱ)-Apc(Amⁱ)-Apc(Amⁱ)-OEt (Xб). 2,0 г (4,62 ммоль) нитроэфира (VIIб) гидрировали над 0,5 г катализатора в смеси 15 мл этанола и 0,4 мл конц. водной HCl. Катализатор отфильтровывали и раствор упаривали. Остаток растворяли в смеси 60 мл этанола, 50 мл воды и 2,1 мл триэтиламина. Хлорангидрид (Vб), приготовленный в условиях получения вещества (Va) из 5,5 ммоль соединения (IIIб), растворяли в 50 мл гексана и прибавляли к раствору аминокомпоненты. Смесь интенсивно перемешивали 3 ч при 20°, упаривали до $\frac{1}{3}$ от первоначального объема и вещество экстрагировали этилацетатом. Раствор после высушивания над Na₂SO₄ упаривали, масло растворяли в метаноле и наносили на колонку (2 × 115 см) с сефадексом LH-20. Элюцию проводили при 0° метанолом со скоростью 15 мл/ч. Фракции, содержащие соединение (Xб), упаривали до небольшого объема, оставляли при 0° и вышавший осадок отфильтровывали. Выход соединения (Xб) 1,45 г (51%), т. пл. 157–159°, R_f 0,92 (A), 0,91 (B), 0,47 (Г). Найдено, %: C 62,90; H 7,51; N 13,41. C₃₂H₄₆O₆N₆. Вычислено, %: C 62,93; H 7,59; N 13,76.

ЛИТЕРАТУРА

- Гроховский С. Л., Жузе А. Л., Готтих Б. П. (1975) Биоорган. химия, 1, 1616–1623.
- Zimmer Ch. (1975) Progr. Nucleic Acids Res. and Mol. Biol., 15, 285–318.
- Hale W. J., Hoyt W. V. (1945) J. Amer. Chem. Soc., 37, 2538–2552.
- Гроховский С. Л., Жузе А. Л., Готтих Б. П. (1978) Биоорган. химия, 4, 1078–1086.
- Montaudo G., Librando V., Caccamese S., Maravigna P. (1973) J. Amer. Chem. Soc., 95, 6365–6370.
- Stewart W. E., Siddall T. H. (1970) Chem. Rev., 70, 517–551.
- Слоним И. Я., Булай А. Х. (1973) Усп. химии, 42, 1976–2006.
- Finocchiaro P., Recca A., Maravigna P., Montaudo G. (1974) Tetrahedron, 30, 4159–4169.
- Заседателев А. С., Жузе А. Л., Циммер К., Гроховский С. Л., Туманян В. Г., Гурский Г. В., Готтих Б. П. (1976) Докл. АН СССР, 231, 1006–1009.
- Gursky G. V., Tumanyan V. G., Zasedatelev A. S., Zhuze A. L., Grokhovsky S. L., Gottikh B. P. (1977) in: Nucleic Acid — Protein Recognition (Vogel H. J., ed.), pp. 189–217, Acad. Press, New York.
- Синтезы органических препаратов (1949) 1, с. 357–364, ИЛ, М.
- Синтезы органических препаратов (1953) 4, с. 345–346, ИЛ, М.
- Weiss M. J., Webb J. S., Smith J. M. (1957) J. Amer. Chem. Soc., 79, 1266.

Поступила в редакцию
27.XII.1977

DNA BASE PAIR SPECIFIC LIGANDS. II. STUDIES OF DISTAMYCIN A CHROMOPHORE STEREOCHEMISTRY BY ¹H-NMR SPECTROSCOPY

TURCHIN K. F., GROKHOVSKY S. L., ZHUZE A. L., GOTTIKH B. P.

S. Ordzhonikidze All-Union Institute for Chemical
and Farmacological Research, Moscow;
Institute of Molecular Biology, Academy of Sciences of the USSR, Moscow

Several model compounds containing one, two and three pyrrol rings linked by amide or methylamide bonds at positions 2 and 4 were synthesized and investigated by ¹H-NMR spectroscopy in order to study the stereochemistry of the chromophore moiety of the antiviral antibiotic distamycin A. The major conclusions are: i) the preferable conformation of C2=C3 and C=O bonds is *trans* relative to the C2—CO bond, ii) the preferable conformation of C2—CO and NH—C4 is *trans* relative to the CO—NH bond, iii) the preferable conformation of NH—CO and C4=C5 bonds is *cis* relative to the NH—C4 bond. These conformations are suggested to be predominant for distamycin A oligopyrrol carbocamide backbone.